

الله اعلم



دانشگاه تربیت مدرس
دانشکده فنی و مهندسی

پایان‌نامه دوره‌ی کارشناسی ارشد مهندسی برق-قدرت

طراحی و ساخت اینورتر نه سوئیچه‌ی تعمیم یافته

جهت تغذیه‌ی مستقل دو بار سه فاز چهار سیمه

مهندی عزیزی

استاد راهنمای:

دکتر مصطفی محمدیان

استاد مشاور:

دکتر علی یزدیان

۱۳۸۹ زمستان

تقديم

تشکر و قدردانی

چکیده

در این پایان نامه، یک مبدل جدید بر گرفته از ترکیب مبدل چهار ساق و مبدل نه سوئیچه پیشنهاد شده است که با استفاده از سوئیچه های کمتر نسبت به دو مبدل چهار ساق، قادر به تغذیه مستقل دو بار سه فاز چهار سیمه می باشد. این مبدل جدید مزایای هر دو مبدل پایه همانند قابلیت جبران نامتعادلی بار، امکان تزریق جریان نامتعادل به شبکه، مقاومت در برابر خطا، تعداد کلیدهای قدرت کاهش یافته و در نتیجه مدارات راه انداز و کنترلی کمتر، را دارد. ابتدا ساختار مبدل پیشنهادی که از لحاظ عملکرد در ردیف مبدل های چهار ساق و از لحاظ ساختمان در زمرة مبدل های با ساق های سه سوئیچه قرار می گیرد، معرفی و شیوه های کلیدزنی آن، هم با استفاده از مدولاسیون موج حامل و هم مدولاسیون بردار فضایی ارائه شده است. سپس استفاده از آن در کاربرد اینورتر دو خروجی به همراه شبکه امپدانسی Z ، مبدل ac/ac چهار ساق مقاوم در برابر خطا و سیستم بهبود کیفیت توان یکپارچه، بررسی شده است. یک نمونه آزمایشگاهی از مبدل پیشنهادی ساخته شد. نتایج حاصل از شبیه سازی و نمونه آزمایشگاهی که مovid صحت مباحث نظری عنوان شده، می باشند در انتهای هر فصل ارائه شده اند.

کلید واژه: مبدل چهار ساق، مبدل نه سوئیچه، مدولاسیون موج حامل و بردار فضایی، مبدل مقاوم در برابر خطاب، سیستم کیفیت توان یکپارچه.

فهرست مطالب

صفحه

عنوان

۵	فهرست جدول‌ها
۵	فهرست شکل‌ها
۱	فصل ۱ - مقدمه
۱	۱-۱ پیشگفتار
۱	۲-۱ هدف تعریف شده برای این پایان‌نامه
۱	۳-۱ ساختار پایان‌نامه
۳	فصل ۲ - اینورتر چهار ساق
۳	۱-۲ مقدمه
۳	۲-۲ اینورتر سه ساق با بار نامتعادل
۴	۳-۲ توپولوژی و مدلسازی اینورتر چهار ساق
۴	۱-۳-۲ ساختمان اینورتر چهار ساق
۵	۳-۳-۲ مدلسازی شبکه‌ی کلیدزنی اینورتر چهار ساق
۷	۴-۲ روش‌های کلیدزنی اینورتر چهار ساق
۷	۱-۴-۲ مدولاسیون بردار فضایی سه بعدی
۷	۱-۱-۴-۲ حالات کلیدزنی و بردارهای ولتاژ
۸	۲-۱-۴-۲ انتقال بردارهای ولتاژ به قاب مرجع $\alpha\beta\gamma$
۱۱	۲-۴-۲ تولید بردار ولتاژ مرجع در قاب مرجع $\alpha\beta\gamma$ به وسیله‌ی بردارهای ولتاژ
۱۷	۱-۲-۴-۲ اورمدولاسیون
۱۷	۳-۴-۲ مدولاسیون بردار فضایی در قاب مرجع abc
۲۱	۳-۴-۲ روش کلیدزنی Carrier-Based PWM اینورتر چهار ساق
۲۶	فصل ۳ - اینورتر نه سوئیچه
۲۶	۱-۳ مقدمه
۲۶	۲-۳ ساختمان اینورتر نه سوئیچه
۲۷	۳-۳ روش کلیدزنی <i>Carrier-Based</i>
۳۱	۴-۳ روش مدولاسیون بردار فضایی
۳۳	۵-۳ نتیجه‌گیری
۳۴	فصل ۴ - اینورتر منبع امپدانس
۳۵	۱-۴ اینورتر منبع امپدانس
۳۸	۲-۴ معادلات اینورتر منبع امپدانس
۳۸	۱-۲-۴ عملکرد حالت ماندگار

۴۱	- ۳-۴ روشهای مدولاسیون پهنهای باند اینورتر منبع امپدانس
۴۱	- ۱-۳-۴ روش کنترل بوست ساده
۴۲	- ۲-۳-۴ روش کنترل ماکزیمم بوست
۴۴	- ۳-۳-۴ روش کنترل ماکزیمم بوست ثابت
۴۶	- ۴-۳-۴ روش مدولاسیون بردار فضایی اینورتر منبع امپدانس استراتژی ماکزیمم بوست ثابت
۴۸	- ۵-۳-۴ روش مدولاسیون <i>Carrier-Based</i> اینورتر منبع امپدانس چهار ساق با حالات اتصال کوتاه توزیع شده
۵۰	- ۴-۴ طراحی المان های منبع امپدانس
۵۰	- ۱-۴-۴ سلف شبکه امپدانس
۵۱	- ۲-۴-۴ خازن شبکه امپدانس
۵۱	- ۳-۴-۴ ادوات نیمه هادی
۵۲	فصل ۵ - اینورتر چهارساق دو خروجی پیشنهادی و روشهای کلیدزنی آن
۵۲	- ۱-۵ مقدمه
۵۲	- ۲-۵ ساختمان اینورتر پیشنهادی
۵۵	- ۳-۵ روشهای مدولاسیون اینورتر چهارساق دو خروجی
۵۵	- ۱-۳-۵ روش مدولاسیون <i>Carrier-based</i> اینورتر چهارساق دو خروجی
۵۸	- ۲-۳-۵ روش کلیدزنی مدولاسیون بردار فضایی اینورتر چهارساق دو خروجی
۵۸	- ۱-۲-۳-۵ روش کلیدزنی <i>SVM</i> در قاب $\alpha\beta\gamma$
۶۳	- ۲-۲-۳-۵ روش کلیدزنی <i>SVM</i> در قاب abc
۶۵	- ۳-۲-۳-۵ نحوی چینش بردارهای کلیدزنی
۶۷	- ۴-۵ نتایج شبیهسازی و عملی
۶۸	- ۱-۴-۵ نتایج روش کلیدزنی <i>CBM</i>
۶۹	- ۲-۴-۵ نتایج روش کلیدزنی <i>SVM</i> در قاب $\alpha\beta\gamma$
۷۱	- ۳-۴-۵ نتایج روش کلیدزنی <i>SVM</i> در قاب abc
۷۲	- ۴-۴-۵ نتایج حالت کاری فرکانس برابر
۷۲	- ۵-۵ نتیجه گیری
۷۴	فصل ۶ - اینورتر چهارساق دو خروجی منبع امپدانس
۷۴	- ۱-۶ مقدمه
۷۵	- ۲-۶ روشهای مدولاسیون اینورتر چهارساق دو خروجی منبع امپدانس
۷۵	- ۱-۲-۶ روش کلیدزنی <i>CBM</i> اینورتر چهارساق دو خروجی منبع امپدانس
۷۷	- ۱-۲-۶ روش کلیدزنی <i>SVM</i> اینورتر چهارساق دو خروجی منبع امپدانس
۷۸	- ۳-۶ نتایج عملی و شبیهسازی
۷۹	- ۴-۶ نتیجه گیری
۸۱	فصل ۷ - مدل AC/AC چهارساق مقاوم در برابر خطأ
۸۱	- ۱-۷ مقدمه

۸۲	- ۲-۷ ساختمان مبدل AC/AC چهارساق
۸۲	- ۳-۷ مدھای کاری مبدل AC/AC چهارساق
۸۲	- ۱-۳-۷ مد فرکانس متفاوت (DF)
۸۳	- ۲-۳-۷ مد کاری فرکانس یکسان (EF)
۸۵	- ۴-۷ شیوه های کنترلی مبدل AC/AC پیشنهادی
۸۶	- ۵-۷ آرایشهاي اصلاح شده برای جبران نامتعادلی یک سمت
۸۶	- ۶-۷ نتایج شبیه سازی
۸۷	- ۱-۶-۷ شبیه سازی رفتار مبدل هنگام کار در شرایط عادی
۸۸	- ۲-۶-۷ شبیه سازی رفتار مبدل هنگام وقوع خطا در شبکه
۹۱	- ۳-۶-۷ شبیه سازی رفتار مبدل هنگام وقوع خطا در مبدل
۹۱	- ۷-۷ نتیجه گیری
۹۴	فصل ۸ استفاده از اینورتر چهارساق دو خروجی در UPQC
۹۴	- ۱-۸ مقدمه
۹۶	- ۲-۸ استفاده از اینورتر چهارساق دو خروجی در UPQC
۹۶	- ۳-۸ کنترل بخش سری
۹۷	- ۴-۸ کنترل بخش موازی
۹۸	- ۵-۸ نتایج شبیه سازی
۹۸	- ۱-۵-۸ بار نامتعادل و هارمونیکی
۹۸	- ۲-۵-۸ ولتاژ هارمونیکی شبکه
۹۹	- ۳-۵-۸ ولتاژ نامتعادل شبکه
۱۰۰	- ۴-۵-۸ اختلال در ولتاژ شبکه
۱۰۰	- ۶-۸ نتیجه گیری
۱۰۲	فصل ۹ نتیجه گیری و پیشنهادها
۱۰۲	- ۱-۹ نتیجه گیری
۱۰۲	- ۲-۹ پیشنهادها
۱۰۳	فهرست مراجع
۱۰۵	واژه نامه‌ی فارسی به انگلیسی
۱۰۶	واژه نامه‌ی انگلیسی به فارسی

فهرست جداول‌ها

صفحه	عنوان
۸	جدول ۲-۱. حالات کلیدزنی و بردارهای ولتاژ
۹	جدول ۲-۲. حالات کلیدزنی و بردارهای ولتاژ در قاب مرجع استاتور
۱۳	جدول ۲-۳. هرم‌های هر منشور به همراه بردارهای ولتاژ هر هرم
۱۶	جدول ۲-۴. ماتریس تصویر مربوط به هر هرم
۱۷	جدول ۲-۵. بردارهای ولتاژ در قاب مرجع <i>abc</i>
۲۰	جدول ۲-۶. بردارهای ولتاژ و <i>RP</i> مربوط به هر هرم
۲۴	جدول ۲-۷. ولتاژ افست در هرم‌های منشور اول
۲۵	جدول ۲-۸. علامت ولتاژ تولیدی توسط بردارهای ولتاژ هرم‌های منشور اول
۳۱	جدول ۳-۱. بردارهای کلیدزنی اینورتر نه سوئیچه
۳۲	جدول ۳-۲. وضعیت کلیدهای هر ساق در بردارهای کلیدزنی اینورتر نه سوئیچه
۳۵	جدول ۴-۱. حالت‌های کلیدزنی اینورتر منبع ولتاژ سه ساق
۵۳	جدول ۴-۲. حالات کلیدزنی
۵۴	جدول ۴-۳. حالات کلیدزنی مجاز اینورتر چهارساق دو خروجی
۵۹	جدول ۴-۴. بردارهای کلیدزنی مجاز اینورتر چهارساق دو خروجی در قاب مرجع $\alpha\beta\gamma$
۶۲	جدول ۴-۵. بردارهای اکتیو هرمهای هر منشور
۶۳	جدول ۵-۱. بردارهای کلیدزنی اینورتر چهار ساق دو خروجی در فضای <i>abc</i>
۶۵	جدول ۵-۲. بردارهای کلیدزنی مشخص شده به وسیله <i>RP</i>
۶۷	جدول ۵-۳. مشخصات بار
۶۷	جدول ۵-۴. مشخصات فرمان ولتاژ خروجی بالایی و پایینی
۷۲	جدول ۵-۵. مشخصات فرمان ولتاژ خروجی بالایی و پایینی در حالت کاری همفرکانس
۷۷	جدول ۶-۱. حالت کلیدزنی اتصال کوتاه
۷۸	جدول ۶-۲. تعداد کلیدزنی
۷۸	جدول ۶-۳. مشخصات فرمان ولتاژ اینورتر
۸۷	جدول ۷-۱. پارامترهای بار
۸۷	جدول ۷-۲. مشخصات ولتاژ منبع

فهرست شکل‌ها

صفحه.....	عنوان
۴.....	شکل ۱-۲. آرایش اینورتر سه ساق برای تامین اتصال نقطه خنثی بار
۵.....	شکل ۲-۲. ساختمان اینورتر چهارساق
۵.....	شکل ۳-۲. شبکه کلیدزنی اینورتر چهارساق
۶.....	شکل ۴-۲. مدل متوسط سیگنال بزرگ شبکه \bar{e} کلیدزنی
۷.....	شکل ۵-۲. مدل متوسط سیگنال بزرگ اینورتر چهارساق
۱۰.....	شکل ۶-۲. حجم ایجاد شده توسط بردارهای ولتاژ در قاب مرجع $a\beta\gamma$ و هفت سطح ولتاژ
۱۰.....	شکل ۷-۲. تصویر بردارهای ولتاژ در سطوح موازی با صفحه $a\beta\gamma$
۱۱.....	شکل ۸-۲. منشورهای قابل تشخیص در حجم سه بعدی تشکیل یافته از بردارهای ولتاژ
۱۲.....	شکل ۹-۲. الگوریتم تشخیص منشور بردار ولتاژ مرجع
۱۲.....	شکل ۱۰-۲. هرم \bar{e} های موجود در منشور اول
۱۸.....	شکل ۱۱-۲. حجم تولید شده توسط بردارهای ولتاژ در فضای abc
۲۰.....	شکل ۱۲-۲. هرم‌های مشخص شده با RP هشت و ۵۷
۲۱.....	شکل ۱۳-۲. اینورتر چهار ساق
۲۲.....	شکل ۱۴-۲. ولتاژ‌های لحظه‌ای سه ساق بر حسب ولتاژ افست
۲۵.....	شکل ۱۵-۲. بلوک دیاگرام روش Carrier-Based
۲۶.....	شکل ۱-۳. ساختار اینورتر نه سوئیچه
۲۷.....	شکل ۲-۳. اینورتر نه سوئیچه. الف) اینورتر یک، ب) اینورتر دو
۲۸.....	شکل ۳-۳. کلیدزنی اینورتر نه سوئیچه
۲۹.....	شکل ۴-۳. نحوه مدولاسیون PWM برای اینورتر نه سوئیچه
۲۹.....	شکل ۵-۳. پیاده‌سازی مدولاسیون PWM برای اینورتر نه سوئیچه
۳۰.....	شکل ۶-۳. مدولاسیون PWM بهبود یافته برای اینورتر نه سوئیچه
۳۰.....	شکل ۷-۳. بلوک دیاگرام مدولاسیون بهبود یافته اینورتر نه سوئیچه
۳۱.....	شکل ۸-۳. کلیدزنی PWM اینورتر نه سوئیچه بر حسب بردارهای کلیدزنی
۳۳.....	شکل ۹-۳. دیاگرام بردار فضایی برای تعیین بردارهای فعال اینورتر نه سوئیچه
۳۴.....	شکل ۱-۴. اینورتر منبع امپدانس ولتاژی سه ساق
۳۶.....	شکل ۲-۴. اینورتر منبع امپدانس ولتاژی چهار ساق
۳۷.....	شکل ۳-۴. روش کلیدزنی PWM برای اینورتر منبع ولتاژ
۳۷.....	شکل ۴-۴. روش کلیدزنی PWM اصلاح شده برای اینورتر منبع امپدانس
۳۸.....	شکل ۵-۴. مدار معادل اینورتر منبع امپدانس
۳۸.....	شکل ۶-۴. مدار معادل اینورتر منبع امپدانس در حالت اتصال کوتاه

شكل ۷-۴. مدار معادل اینورتر منبع امپدانس در حالت غیر اتصال کوتاه	۳۹
شکل ۸-۴. کلیدزنی PWM ساده برای اینورتر منبع امپدانس	۴۲
شكل ۹-۴. نمودار بهره بر حسب ضریب مدولاسیون برای روش بوست ساده	۴۲
شکل ۱۰-۴. روش کلیدزنی ماکزیمم بوست [۱۷]	۴۳
شكل ۱۱-۴. نمودار بهره بر حسب ضریب مدولاسیون برای کنترل ماکزیمم بوست	۴۴
شکل ۱۲-۴. روش کلیدزنی ماکزیمم بوست ثابت	۴۵
شكل ۱۳-۴. نمودار بهره بر حسب ضریب مدولاسیون برای روش ماکزیمم بوست ثابت	۴۶
شکل ۱۴-۴. بردارهای کلید زنی اینورتر منبع ولتاژ رايج	۴۶
شكل ۱۵-۴. چگونگی توزيع بردارهای اتصال کوتاه در پريود کلیدزنی	۴۹
شكل ۱-۵. ساختمان اینورتر چهار ساق دو خروجی پيشنهادي	۵۳
شكل ۲-۵. حالات مجاز ۱۲ و ۲۷	۵۵
شكل ۳-۵. سيگنال مدوله کننده ساق چهارم	۵۶
شکل ۴-۵. سيگنالهای مدوله کننده ساق a	۵۷
شكل ۵-۵. بلوک دياگرام روش کلیدزنی CBM	۵۷
شكل ۶-۵. سيگنالهای مدوله کننده ساق a در حالت هم فرکانس بودن دو خروجی	۵۸
شكل ۷-۵. توزيع بردارهای کلیدزنی اينورتر پيشنهادي در فضاي $\alpha\beta\gamma$	۶۰
شكل ۸-۵. هرمهای موجود در منشور پنجم	۶۱
شكل ۹-۵. الگوريتم تشخيص منشور بردار ولتاژ مرجع	۶۱
شکل ۱۰-۵. توزيع بردارهای کلیدزنی اينورتر چهارساق دو خروجی در فضاي abc	۶۴
شكل ۱۱-۵. هرمهای معادل هرمهای منشور پنجم	۶۴
شك ۱۲-۵. چينش بردارها برای کمترین تلفات کلیدزنی	۶۶
شك ۱۳-۵. چينش بردارها برای کمترین THD	۶۶
شك ۱۴-۵. THD جريان بار در روشهای متفاوت کلیدزنی	۶۷
شك ۱۵-۵. نتایج روش CBM (راست) نتایج عملی چپ) نتایج شبیه‌سازی	۶۸
شك ۱۶-۵. نتایج روش SVM در قاب $\alpha\beta\gamma$ (راست) نتایج عملی چپ) نتایج شبیه‌سازی	۶۹
شك ۱۷-۵. نتایج روش SVM در قاب abc (راست) نتایج عملی چپ) نتایج شبیه‌سازی	۷۱
شك ۱۸-۵. نتایج حالت کاري هم فرکانس، (راست) نتایج عملی چپ) نتایج شبیه‌سازی	۷۳
شك ۱-۶. اينورتر چهار ساق دو خروجی منبع امپدانس	۷۴
شك ۲-۶. تعداد حالات اتصال کوتاه در نصف پريود کلیدزنی اينورتر چهارساق دو خروجی منبع امپدانس	۷۶
شك ۳-۶. فرمانهای ولتاژ پل خروجی بالايی و پايينی به دست آمده از روش کلیدزنی CBM	۷۷
شك ۴-۶. نحوه چينش بردارها در اينورتر چهار ساق دو خروجی a) کمترین کلیدزنی b) کمترین THD	۷۸
شك ۵-۶. ولتاژ خازن شبکه امپدانسي. (راست) نتایج عملی چپ) نتایج شبیه‌سازی	۷۹

شکل ۶-۶. راست) نتایج عملی چپ) نتایج شبیه‌سازی	۸۰
شکل ۱-۷ On-line UPS	۸۱
شکل ۲-۷. مبدل چهارساق دو خروجی در کاربرد تبدیل AC/AC	۸۲
شکل ۳-۷. (a) سیگنال مدولاسیون برای یک فاز نوعی در مد DF (b) سیگنال مدولاسیون ساق چهارم در مد DF	۸۳
شکل ۴-۷. (a) سیگنال مدولاسیون یک فاز نوعی در مد EF (b) سیگنال مدولاسیون ساق چهارم در مد EF	۸۴
شکل ۵-۷. بلوک دیاگرام مدولاسیون	۸۵
شکل ۶-۷. آرایش اصلاح شده هنگام متعادل بودن بار	۸۶
شکل ۷-۷. آرایش اصلاح شده هنگام متعادل بودن منبع	۸۶
شکل ۸-۷. ولتاژ و جریان شبکه	۸۷
شکل ۹-۷. توان اکتیو و راکتیو ورودی به مبدل	۸۷
شکل ۱۰-۷. جریان بار	۸۸
شکل ۱۱-۷. ولتاژ باس DC	۸۸
شکل ۱۲-۷. خطای شبکه : قطع یک فاز (a) جریان و ولتاژ شبکه (b) توان اکتیو و راکتیو ورودی به مبدل (c) جریان بار (d) ولتاژ باس DC	۸۹
شکل ۱۳-۷. خطای شبکه : قطع دو فاز (a) جریان و ولتاژ شبکه (b) توان اکتیو و راکتیو ورودی به مبدل (c) جریان بار (d) ولتاژ باس DC	۹۰
شکل ۱۴-۷. خطای مبدل : قطع یک ساق (a) جریان و ولتاژ شبکه (b) توان اکتیو و راکتیو ورودی به مبدل (c) جریان بار (d) ولتاژ باس DC	۹۲
شکل ۱۵-۷. خطای مبدل : قطع دو ساق (a) جریان و ولتاژ شبکه (b) توان اکتیو و راکتیو ورودی به مبدل (c) جریان بار (d) ولتاژ باس DC	۹۳
شکل ۱-۸. آرایش معمول UPQC	۹۴
شکل ۲-۸. استفاده از اینورتر ۹ سوئیچه در UPQC	۹۵
شکل ۳-۸. اینورتر چهارساق دو خروجی به عنوان مبدل UPQC	۹۶
شکل ۴-۸. کنترلر بخش سری	۹۷
شکل ۵-۸. کنترلر بخش موازی	۹۷
شکل ۶-۸. جریان بار پیش از جبرانسازی	۹۸
شکل ۷-۸. جریان شبکه (جریان بار جبرانسازی شده توسط UPQC)	۹۸
شکل ۸-۸. ولتاژ هارمونیکی شبکه	۹۹
شکل ۹-۸. ولتاژ بار پس از جبرانسازی توسط UPQC	۹۹
شکل ۱۰-۸. ولتاژ نامتعادل شبکه	۹۹
شکل ۱۱-۸. ولتاژ جبران شده تحويلی به بار	۹۹
شکل ۱۲-۸. ولتاژ شبکه پیش و پس از اختلال	۱۰۰

شکل ۱۳-۸. ولتاژ تحویلی به بار

شکل ۱۴-۸. ولتاژ باس DC پیش و پس از اختلال

فصل ۱ - مقدمه

۱-۱ - پیشگفتار

مبدل‌ها به عنوان واسط میان منابع تغذیه و بار ، قلب سیستم‌های الکترونیک قدرت به شمار می‌روند. بهبود شاخص‌های عملکردی مبدل‌ها موجب افزایش کارآیی همه‌ی سیستم‌های الکترونیک قدرت می‌گردد. به همین دلیل تحقیق در زمینه‌ی مبدل‌ها یکی از شاخه‌های رو به رشد الکترونیک قدرت است. این تحقیقات علاوه بر ارتقا سطح کیفی مبدل‌ها کاهش قیمت تمام شده‌ی آنها را نیز مد نظر دارند. این اهداف یا از طریق معرفی آرایشی جدید و یا با اصلاح یکی از آرایشهای موجود محقق می‌گردد.

۱-۲ - هدف تعریف شده برای این پایان‌نامه

یکی از روش‌هایی که در سال‌های اخیر برای کاهش هزینه تمام شده مبدل‌های الکترونیک قدرت مورد توجه قرار گرفته ، کاهش تعداد سوئیچهای به کار رفته در ساختمان آنهاست. در این راستا اینورتر نه سوئیچه به عنوان یک مبدل سه فاز با قابلیت تغذیه مستقل دو بار سه فاز سه سیمه معرفی شد. اینورتر نه سوئیچه یک مبدل دو خروجی است که دو مجموعه ولتاژ سه فاز تولیدی توسط آن از لحاظ دامنه و فرکانس از یکدیگر مستقلند.

اینورتر چهارساق یک مبدل High Performance است که قادر به تولید ولتاژ سه فاز متعادل یا نامتعادل مستقل از بار است. این آرایش مناسب‌ترین گزینه برای تغذیه بارهای سه فاز چهار سیمه است.

در این پایان‌نامه به منظور تغذیه مستقل دو بار سه فاز چهارسیمه که می‌توانند متعادل یا نامتعادل باشند یک مبدل چهارساق دو خروجی معرفی می‌شود. این مبدل معادل دو اینورتر چهارساق است که با هم تلفیق شده‌اند و تعداد سوئیچهای مورد نیاز برای ساخت آنها کاهش یافته‌است. روش‌های کلیدزنی این مبدل نیز ارائه می‌شود.

برای مبدل پیشنهادی کاربردهایی به عنوان اینورتر دو خروجی و مبدل AC/AC مقاوم در برابر خط‌ها و کار در ساختمان UPQC پیشنهاد می‌شود. همچنین در کاربرد اینورتری اینورتر دو خروجی پیشنهادی با شبکه امپدانسی ترکیب شده تا قابلیت افزایش ولتاژ ورودی را نیز پیدا کند. یک نمونه آزمایشگاهی نیز ساخته شد تا نتایج عملی موید الگوریتم‌های کلیدزنی پیشنهادی باشند.

۱-۳ - ساختار پایان‌نامه

این پایان‌نامه در نه فصل تنظیم شده‌است. در فصول دو ، سه و چهار به ترتیب مروری بر ساختمان و روش‌های کلیدزنی اینورتر چهار ساق ، اینورتر نه سوئیچه و مبدل منبع امپدانس انجام می‌شود. در فصل پنجم آرایش پیشنهادی معرفی و روش‌های کلیدزنی آن ارائه می‌شود. در ششمین فصل از آرایش پیشنهادی به عنوان مبدل AC/AC مقاوم در برابر خط‌ها استفاده می‌گردد. در فصل هفتم به کارگیری این

مبدل در بهساز کیفیت توان یکپارچه مورد بررسی قرار می‌گیرد. سرانجام در فصل نهم نتیجه‌گیری کلی انجام می‌شود.

فصل ۲- اینورتر چهار ساق

۱-۱- مقدمه

منابع تغذیه بزرگ بارهای ترکیبی‌ای را تغذیه می‌کنند که ممکن است متعادل نباشند. اغلب وسایل الکترونیکی در ولتاژ شبکه نامتعادلی و اعوجاج ایجاد می‌کنند و خود نیز نسبت به این عدم تعادل و محتوای هارمونیکی ولتاژ حساس هستند. این ادوات الکترونیکی بار غیر خطی به شمار می‌آیند. در صورتی که بار نامتعادل و یا غیرخطی باشد مجموع جریان‌های سه فاز صفر نخواهد شد و جریان خنثی وجود خواهد داشت. در صورتی که اتصال نقطه‌ی خنثی برای عبور این جریان تامین نشود، نقطه‌ی خنثی بار دارای ولتاژ شده و ولتاژ فازها نامتعادل خواهند شد.

یکی از شیوه‌های حل مشکلات فوق‌الذکر استفاده از اینورتر چهارساق است. اینورتر چهارساق می‌تواند ولتاژ نقطه‌ی خنثی را کنترل و همچنین اتصال نقطه‌ی خنثی بار را برای جاری شدن جریان خنثی از طریق ساق چهارم تامین کند. این جریان خنثی ممکن است ناشی از بارهای نامتعادل یا بارهای غیرخطی باشد. اینورتر چهارساق سه ولتاژ خروجی مستقل از هم تولید می‌کند و به همین سبب حتی زمانی که بار نامتعادل یا غیرخطی باشد نیز توانایی تولید یک مجموعه ولتاژ سه فاز متعادل را دارد. کاربردهای عمده‌ی اینورتر چهارساق عبارتند از [۱]:

- ۱- تولید پراکنده^۱
- ۲- فیلترهای فعال^۲
- ۳- منابع تغذیه بدون وقفه^۳

به طور کلی در تمامی کاربردهایی که در آنها بار نامتعادل و یا غیرخطیست و داشتن ولتاژ متعادل در آنها دارای اهمیت است می‌توان از اینورتر چهارساق استفاده نمود.

۲-۲- اینورتر سه ساق با بار نامتعادل

در یک سیستم سه فاز چهار سیمه نیاز به تامین اتصال نقطه‌ی خنثی بار ضروریست چرا که اگر بار متعادل باشد به دلیل عدم وجود جریان توالی صفر نقطه‌ی خنثی بار می‌تواند به صورت معلق رها شود اما اگر بار نامتعادل باشد و نقطه‌ی خنثی بار به صورت معلق رها شود، به سبب آنکه جریان توالی صفر نمی‌تواند جاری شود و ولتاژ فازها نامتعادل خواهند شد. روش‌های متفاوتی برای این کار وجود دارد.

¹ Distrbuted Generation

² Active Power Filter

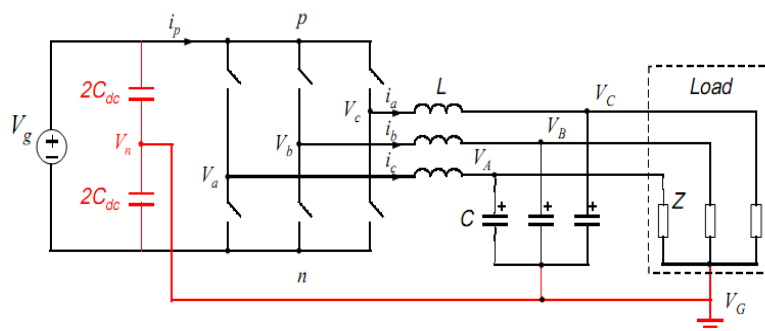
³ Uninrruptable Power Supply

یک راه استفاده از ترانسفورمر با اتصال ستاره/مثلث (Δ/Y) است. طرف ستاره ترانسفورمر به بار متصل می شود و نقطه i خنثی بار به نقطه خنثی ترانسفورمر متصل می شود. سمت مثلث هم به اینورتر وصل می شود. جریان توالی صفر داخل حلقهٔ مثلث به دام می‌افتد و به اینورتر و باس DC انتقال نمی‌یابد.

روش دیگر استفاده از ترانسفورمر با اتصال زیگ زاگ^۱ برای تامین اتصال نقطهٔ خنثی بار است. در این روش به خاطر ساختار این نوع ترانسفورمر جریان توالی صفر حذف می شود.

هر دو روش فوق‌الذکر دچار مشکل بزرگ بودن محتوای راکتیو هستند.

روش دیگر استفاده از دو خازن در باس DC و اتصال نقطهٔ خنثی بار به وسط دو خازن است. این روش به Split DC link capacitor موسوم است.



شکل ۱-۲. آرایش اینورتر سه ساق برای تامین اتصال نقطهٔ خنثی بار

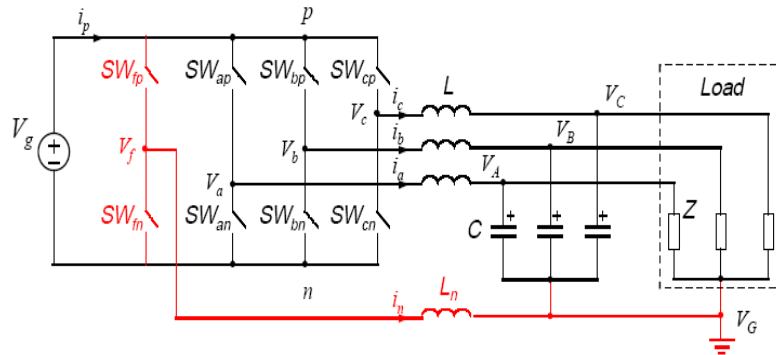
نیاز به خازن بزرگ در باس DC بخصوص هنگامی که بار نامتعادل است بزرگترین عیب این سیستم است. ولتاژ خازن‌های باس DC با یک ریپل ولتاژ با فرکانس 2ω ناشی از جریان توالی صفر بار منفی بار و یک ریپل ولتاژ با فرکانس ω ناشی از جریان توالی صفر بار مواجه هستند. برای آنکه این ریپلهای در حد قابل قبولی کنترل شوند نیاز به استفاده از خازنهای بزرگتری وجود دارد.

۳-۳-۲- توبولوژی و مدل‌سازی اینورتر چهارساق

۳-۳-۲-۱ ساختمان اینورتر چهارساق

ساختمان اینورتر چهارساق به شکل زیر است :

¹ Zig_Zag



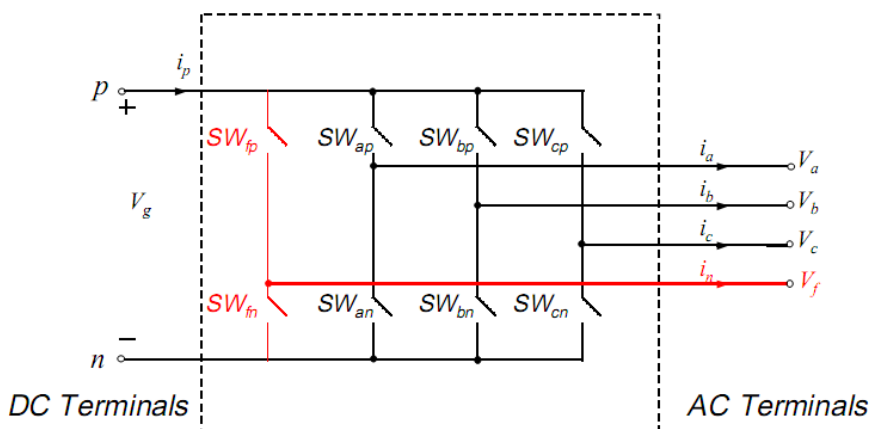
شکل ۲-۲. ساختمان اینورتر چهارساق

همانگونه در شکل ۲-۲ نشان داده شده است ساختمان اینورتر چهارساق شامل شبکه‌ی کلیدزنی، منبع DC ورودی و فیلتر خروجی است. شبکه‌ی کلیدزنی متشکل از چهار ساق است که در هر ساق دو سوئیچ قرار دارد. استفاده از فیلتر خروجی برای بهبود شکل موج تولیدی توسط اینورتر و کاهش محتوای هارمونیکی آن است. سلف قرار گرفته در ساق چهارم وظیفه کاهش ریپل‌های با فرکانس کلیدزنی در جریان خنثی را بر عهده دارد و استفاده از آن الزامی نیست. اینورتر چهارساق توانایی تغذیه هر نوع بار اعم از متعادل یا نامتعادل، خطی و یا غیرخطی را دارد.

مدلسازی شبکه‌ی کلیدزنی اینورتر چهارساق [۱]

-۲-۳-۲

شبکه کلیدزنی اینورترهای چهارساق در شکل ۳-۲ نشان داده شده است.



شکل ۳-۲. شبکه کلیدزنی اینورتر چهارساق

برای توضیح عملکرد شبکه‌ی کلیدزنی، یکتابع کلیدزنی به صورت (۱-۲) تعریف می‌شود:

$$S_{jf} = \begin{cases} 1 & \text{if } S_{jp} \text{ and } S_{fn} \text{ are closed} \\ 0 & \text{if } S_{jp} \text{ and } S_{fp} \text{ or } S_{jn} \text{ and } S_{fn} \text{ are closed} \quad j = \{a, b, c\} \\ -1 & \text{if } S_{jn} \text{ and } S_{fp} \text{ are closed} \end{cases} \quad (1-2)$$

با استفاده از تابع کلیدزنی تعریف شده در (۱-۲) ولتاژهای ترمینال AC و جریان باس DC به شکل (۲-۲) بیان می‌شوند:

$$\begin{bmatrix} v_{af} \\ v_{bf} \\ v_{cf} \end{bmatrix} = \begin{bmatrix} s_{af} \\ s_{bf} \\ s_{cf} \end{bmatrix} V_g , \quad (2-2)$$

$$i_p = [s_{af} \quad s_{bf} \quad s_{cf}] \begin{bmatrix} i_a \\ i_b \\ i_c \end{bmatrix}$$

v_{if} و i_p ها شکل موج‌های پالسی با پریود T_s (پریود کلیدزنی) هستند. متوسط این سیگنال‌ها در یک پریود کلیدزنی به صورت (۳-۲) است:

$$\begin{bmatrix} \bar{v}_{af} \\ \bar{v}_{bf} \\ \bar{v}_{cf} \end{bmatrix} = \begin{bmatrix} d_{af} \\ d_{bf} \\ d_{cf} \end{bmatrix} V_g , \quad (3-2)$$

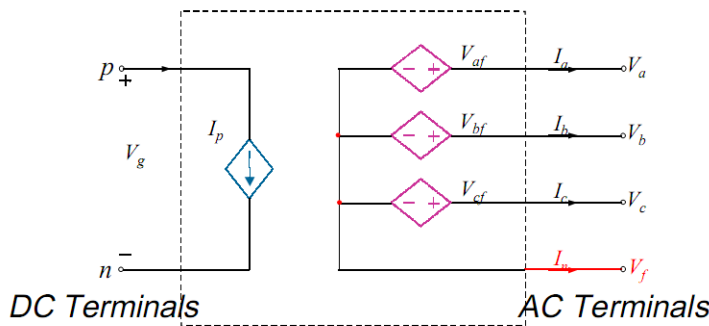
$$I_p = [d_{af} \quad d_{bf} \quad d_{cf}] \begin{bmatrix} I_a \\ I_b \\ I_c \end{bmatrix}$$

منظور از d_{if} در رابطه‌های بالا عبارت است از:

$$d_{if} = \frac{1}{T_s} \int_{t-T_s}^t S_{if}(\tau) d\tau$$

d_{if} ها دوره کار ساق‌های اینورتر هستند. از این پس جهت سادگی برای نمایش مقادیر متوسط به جای نماد \bar{x} از X استفاده می‌شود.

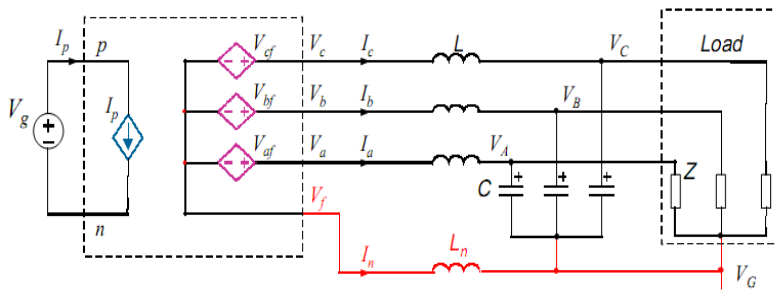
با توجه به رابطه (۳-۲) مدل متوسط سیگنال بزرگ^۱ شبکه‌ی کلیدزنی به صورت زیر خواهد بود:



شکل ۲.۴-۲. مدل متوسط سیگنال بزرگ شبکه‌ی کلیدزنی

با استفاده از مدل به دست آمده برای شبکه‌ی کلیدزنی و قرار دادن آن در مدار اینورتر چهار ساق می‌توان مدل متوسط سیگنال بزرگ اینورتر چهارساق را به شکل زیر به دست آورد:

¹ Averaged Large-Signal model



شکل ۲-۵. مدل متوسط سیگنال بزرگ اینورتر چهارساق

۴-۲- روش‌های کلیدزنی اینورتر چهارساق

در این بخش تعدادی از روش‌های متداول کلیدزنی اینورتر چهارساق شرح داده می‌شوند. ابتدا به روش کلاسیک مدولاسیون برداری سه بعدی پرداخته می‌شود و سپس سایر روش‌ها بررسی خواهند شد.

۴-۱-۱- مدولاسیون بردار فضایی سه بعدی [۱]

۴-۱-۱-۱- حالات کلیدزنی و بردارهای ولتاژ

هر ساق اینورتر چهار حالت سوئیچنگ دارد:

۱. هر دو سوئیچ باز: وقوع این حالت مجاز نیست زیرا هنگام باز بودن دو سوئیچ ولتاژ ساق نامشخص و وابسته به جریان بار است.
۲. هر دو سوئیچ بسته: این حالت نیز به علت اتصال کوتاه شدن بس DC مجاز نیست و باید از وقوع آن جلوگیری شود.
۳. سوئیچ بالایی بسته و سوئیچ پایینی باز: در این حالت خروجی ساق به سر مثبت بس DC وصل می‌شود. این ترکیب با علامت p نمایش داده می‌شود.
۴. سوئیچ بالایی باز و سوئیچ پایینی بسته: با این ترکیب خروجی ساق به سر منفی بس DC متصل می‌گردد. این ترکیب با علامت n نشان داده می‌شود.

در اینورتر چهار ساق با توجه به حالات چهارگانه فوق‌الذکر برای هر ساق، روی هم رفته شانزده ترکیب قابل قبول کلیدزنی وجود دارد که از آنها به حالت کلیدزنی^۱ تعبیر می‌شود.

هر یک از حالات کلیدزنی یک بردار ولتاژ^۲ تولید می‌کند که همان ولتاژ سه فاز خروجی اینورتر است. بردار ولتاژ متشکل از ولتاژهای خروجی سه فاز اینورتر این گونه است:

$$[v_{af} \quad v_{bf} \quad v_{cf}]^T$$

¹ Switching state

² Voltage vector